

## بررسی عوامل ناپایداری شیروانی مشرف بر نوار نقاله مجتمع مس سونگون و پایدارسازی آن

حسین سلطانی جیقه\*؛ دانشگاه شهید مدنی آذربایجان، دانشکده فنی  
ناصر شیردل؛ مهندسین مشاور زمین ژرفاب، تبریز

تاریخ: دریافت ۹۱/۴/۲۰ پذیرش ۹۱/۱۲/۱۹

### چکیده

در سال ۱۳۸۵ بخشی از شیروانی مشرف به نوار نقاله و سنگ‌شکن معدن مس سونگون ریزش کرده و ساختمان‌های بالای آن دچار جابه‌جایی و شکست شده است. با توجه به اهمیت کارکرد بی‌عیب نوار نقاله و سنگ‌شکن به‌منظور تداوم در تولید، ویژگی‌های زمین‌شناسی ساختمانی و مهندسی منطقه بررسی شده و وضعیت موجود شیروانی به لحاظ پایداری ارزیابی شد. نتایج ارزیابی‌ها نشان داد که شیروانی اطمینان کافی در مقابل لغزش را ندارد و ناپایداری آن باعث آسیب دیدن یا از بین رفتن نوار نقاله و تونل آن خواهد شد. بنابراین، با توجه به شرایط فنی و اقتصادی، روش اصلاح هندسه شیروانی، به همراه تلقیقی از سایر روش‌ها، به عنوان راهکار پایدارسازی بخش بالای نوار شیروانی انتخاب می‌شود. همچنین پیشنهاد می‌شود که در بخش زیر نوار نقاله نیز باید از دیگر روش‌های پایدارسازی استفاده گردد.

**واژه‌های کلیدی:** سونگون، زمین‌لغزش، زمین‌شناسی مهندسی، پایدارسازی شیروانی

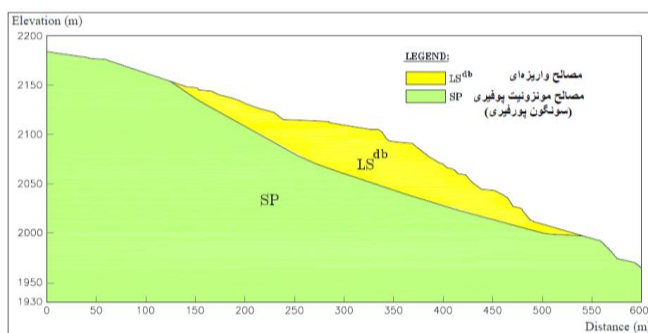
\*نوسنده مسئول [hsoltani@azaruniv.ac.ir](mailto:hsoltani@azaruniv.ac.ir)

### مقدمه

مجتمع معدن مس سونگون در ۳۰ کیلومتری شمال ورزقان از توابع استان آذربایجان شرقی از مهم‌ترین ذخایر مس کشور محسوب می‌شود. میزان ذخیره زمین‌شناسی این معدن حدود

۹۹۵ میلیون تن با عیار ۰/۶۶۱ درصد برآورد شده و ۳۸۸ میلیون تن آن با عیار متوسط ۰/۶۲ درصد قابل برداشت است. تولید سالانه کارخانه کانه‌آرایی معدن هفت میلیون تن است که در آینده تا چهارده میلیون تن افزایش خواهد یافت. احداث کارخانه‌های ذوب و پالایش برای تولید مس آند کاتد و اسید سولفوریک از برنامه‌های توسعه این مجتمع است. در فرآیند پرعيارسازی کارخانه کانه‌آرایی، کانسنج مس بعد از خرد کردن اولیه در سنگشکن، به‌کمک آسیاب خودشکن و گلوله‌ای، تا ابعاد زیر  $100\text{ }\mu\text{m}$  آسیا شده و تصفیه و غنی‌سازی می‌شود. حمل مواد به سنگشکن با سیستم نوار نقاله‌ای صورت می‌گیرد که در دامنه شیروانی مشرف به نوار نقاله و سنگشکن است.

واحدهای سنگی و رسوبی موجود در محدوده بررسی شده عمدتاً شامل سنگ‌های نفوذی، آتشفشاری و سنگ‌های دگرسان شده متأثر از توده مونزونیتی هستند. بخش بزرگی از محدوده مورد بحث نیز پوشش ضخیمی از نهشته‌های واریزه‌ای حاصل از زمین لغزشی قدیمی است. در شکل ۱ پروفیل شماتیک از زمین‌شناسی محدوده لغزش رسم گردیده است. توده مونزونیتی که سنگ‌های آهکی کرتاسه فوقاری را در شمال و شمال‌شرقی محدوده معدن قطع کرده است، در اثر فاز دگرسانی گرمایی شدید بهشت دگرسان شده و با تغییر کلی بافت اولیه سنگ به صورت توده‌ای خردشده سفید، زرد و قهوه‌ای رنگی که دوباره به‌هم پیوسته‌اند، در آمده است. برش‌ها و پیروکلاستیک‌های آندزیتی در مجاورت توده مونزونیت پورفیری و در محدوده بررسی شده بر روی آن قرار گرفته و عدم تأثیر دگرسانی در این طبقات نشانه نشست آن‌ها بعد از نفوذ و دگرسانی توده مزبور است



شکل ۱. پروفیل شماتیک  
زمین‌شناسی محدوده لغزش

در سال ۸۵ قسمتی از این شیروانی ریزش کرده و به تبع آن در ساختمان‌های مهمان‌سرای قدیمی، واقع در بالای شیروانی، ترک خوردگی، شکست و جابه‌جایی رخ داده است. با توجه به اهمیت کارکرد صحیح و بی‌عیب مجموعه نوار نقاله و سنگ‌شکن در تداوم تولید، می‌توان گفت بررسی پایداری شیروانی اهمیت ویژه‌ای دارد. در مقاله حاضر، ابتدا تاریخچه زمین‌لغزش و ویژگی‌های زمین‌شناسی منطقه بررسی شده و پایداری شیروانی در شرایط موجود با انجام تحلیل‌های پایداری ارزیابی می‌شود. در نهایت، براساس تحلیل‌های انجام یافته راهکارهای لازم برای پایدارسازی شیروانی ارائه می‌گردد.

### تاریخچه زمین‌لغزش در محدوده بررسی شده

مطابق شکل ۲ شیروانی در حاشیه شمالی رودخانه سونگون‌چای واقع شده و بر نوار نقاله بین سنگ‌شکن و سایت تغليظ مشرف است. محدوده لغزش بخشی از یک زمین‌لغزش بزرگ بسیار قدیمی است و می‌توان توده لغزیده را نهشته‌های (یا خاک‌های بر جای) وابسته به سنگ‌های کوهی/توده‌های سنگ‌ریز دانست که در شیب‌های تند در اثر وزن خود به‌سمت پایین حرکت می‌کنند.

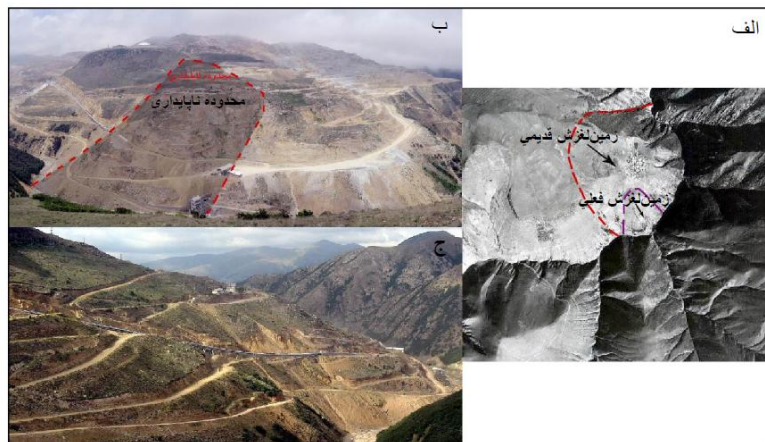
بر مبنای قرائت‌های محلی بیشینه جابه‌جایی در محدوده لغزش در حدود ۱۱cm است و کلاس حرکت شیروانی طبق درجه‌بندی کرودن<sup>۱</sup> و وارنس<sup>۲</sup> (۱۹۹۲) به نقل از [۱] در رده ۳ (نوع آهسته با سرعت حدود  $10^{-6}$  mm/sec) قرار می‌گیرد. بر اساس تقسیم‌بندی این محققان بر مبنای حرکت سینماتیکی، حرکت شیروانی در شکل لغزش<sup>۳</sup> است که به صورت پیش‌روندۀ از یک گسیختگی موضعی شروع شده و درز و ترک در سطح زمین نمایان می‌شود.

### پژوهش‌های زمین‌شناسی ساختمانی

#### ۱. گسل‌ها

گسل‌های متعدد و فراوانی در چهارگوش منطقه ورزقان وجود دارد که اغلب آن‌ها به سبب عمل کردشان از اهمیت ویژه‌ای برخوردارند. این گسل‌ها را می‌توان به دو گروه عمده تقسیم کرد

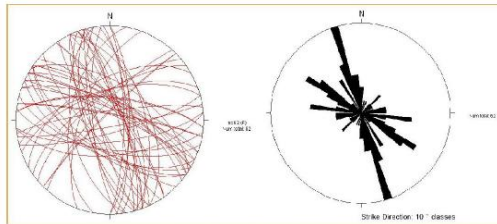
<sup>۱</sup>. Cruden      <sup>۲</sup>. Varnes      <sup>۳</sup>. Sliding



شکل ۲. الف) عکس هوایی ۱:۲۰۰۰۰ منطقه (خطوط قرمز، زمین لغزش قدیمی و خطوط بنفش، زمین لغزش فعلی)، ب) محدوده کلی ناپایداری دیواره مشرف به نوار نقاله (دید به سمت شمال)، ج) نمایی دیگر از محدوده ناپایداری (دید به سمت شمال شرق)

گسل‌های اولیه که روندی عمدتاً شرقی- غربی دارند و نمونه مشخص این دسته از گسل‌ها، گسل ونسستان- سونگون است. استمرار حرکات زمین‌ساختی در زمان‌های بعد از ائوسن سبب انقطاع و جابه‌جایی گسل‌های قدیمی‌تر شده است. این گروه از گسل‌ها، که گسل‌های ثانویه هستند، دارای روند اصلی غالباً شمالی- جنوبی هستند. گسله شمال‌غربی- جنوب شرقی مزرعه جزو این دسته طبقه‌بندی می‌شود [۲]. محدوده بررسی شده به‌دلیل جای‌گزینی توده کوارتز مونزونیت پورفیری و عمل کرد گسل‌های عمدت نزدیک به گستره مزبور، دارای شکستگی‌ها و خردش‌گاهی متعدد است که به‌دلیل پوشش گیاهی متمزکر و همچنین پوشش خاک سطحی در بیشتر قسمت‌ها قابل شناسایی نیستند.

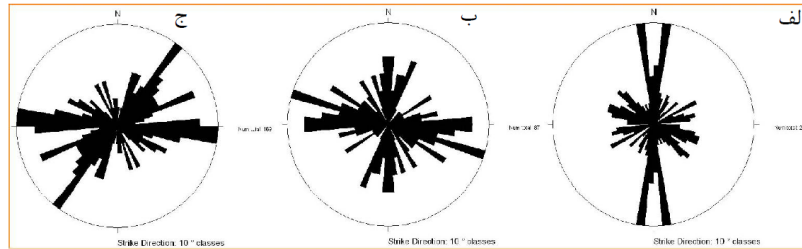
گسل‌های قابل اندازه‌گیری در ترانشه‌های محدوده پژوهش دارای روند کلی شمال‌غرب- جنوب‌شرق هستند که این روند مشابه با روند گسل‌های ناحیه‌ای است. درصد فراوانی گسل‌ها با توجه به نمودار گل سرخی در فاصله آزیموتی ۳۰۰ تا ۳۴۰ درجه بیشتر از همه است و فاصله آزیموتی ۳۱۰ تا ۳۰۰ درجه در اولویت بعدی هستند (شکل ۳). گسل‌های اندازه‌گیری شده بیشتر از نوع گسل‌های معکوس هستند که با عمل کرد خود سبب به هم ریختگی درزه‌ها، جابه‌جایی لایه‌ها و شکستگی‌هایی در آن‌ها شده‌اند.



شکل ۳. نمودار گل سرخی امتداد و شبکه هم مساحت گسل‌ها در محدوده ترانشه‌ها

## ۲. درزهای

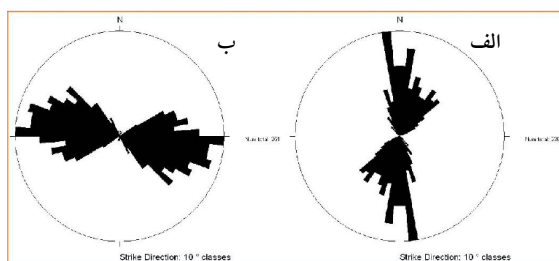
دسته‌بندی درزهای محدوده پژوهش در سه بخش زیر نوار نقاله، مجاور نقاله و بالای نوار نقاله با در نظر گرفتن ترانشه‌های موجود انجام شده و بررسی ویژگی‌های آن‌ها جداگانه بررسی شده است. تعداد درزهای برداشت شده در سه بخش ذکر شده به ترتیب ۲۲۴، ۸۷ و ۱۶۹ درزه است (شکل ۴ الف، ب و ج). فاصله درزهای در امتداد خط‌های برداشت بررسی شده از ۵ سانتی‌متر تا ۱۱۰ سانتی‌متر متغیر است و در بخش‌های با فواصل کم، خردشیدگی سنگ‌ها و آسیب‌پذیری آن‌ها در برابر هوازدگی بیش‌تر می‌شود. بازشدگی درزهای اندازه‌گیری شده بین ۵ تا ۲۵ میلی‌متر متغیر است و هوازدگی نسبتاً قابل توجه سنگ‌ها موجب گردیده که درزهای باز حاصل از این فرآیند، با مواد رسی همراه با لکه‌داری<sup>۱</sup> اکسید آهن پرشدگی داشته باشند. تقریباً تمامی درزهای اصلی مسطح و زیر هستند. بقیه درزهای نیز که عمدتاً غیرسیستماتیک و یا با طول کمتر از یک متر هستند، موجی و زیر هستند.



شکل ۴. نمودار گل سرخی امتداد مجموع درزهای: (الف) زیر نوار نقاله، (ب) مجاور نوار نقاله، و (ج) بالای نوار نقاله

برای جمع‌بندی وضعیت هندسی و فضایی درزهای، کل درزهای برداشت شده از تمامی خط‌های برداشت بررسی شده و نهایتاً به دو مجموعه تقسیم گردیدند. این مجموعه‌ها هر یک ۱. Staining

شامل چند دسته درزه‌اند، ولی ویژگی متمایزکننده این دو مجموعه نزدیکی سوی امتداد درزه‌ها در هر مجموعه به دو روند کلی است. به این ترتیب که در مجموعه ۱ سوی امتداد درزه‌ها عمدتاً شمالی و جنوبی است، در حالی‌که در مجموعه ۲ سوی امتداد درزه‌ها عموماً شرقی و غربی است (شکل ۵). نتیجه حاصل با مباحث مطرح شده در بخش زمین‌شناسی ساختمانی ناحیه‌ای و طبقه‌بندی گسل‌های ناحیه به دو دسته اولیه و ثانویه بر مبنای روند آن‌ها، کاملاً منطبق است که توده کوارتز مونزونیت پورفیری پس از جای‌گیری، تحت تأثیر هر دو تنש اصلی قرار گرفته و باعث درزخوردگی توده مزبور در دو امتداد عمود برهم گردیده است.

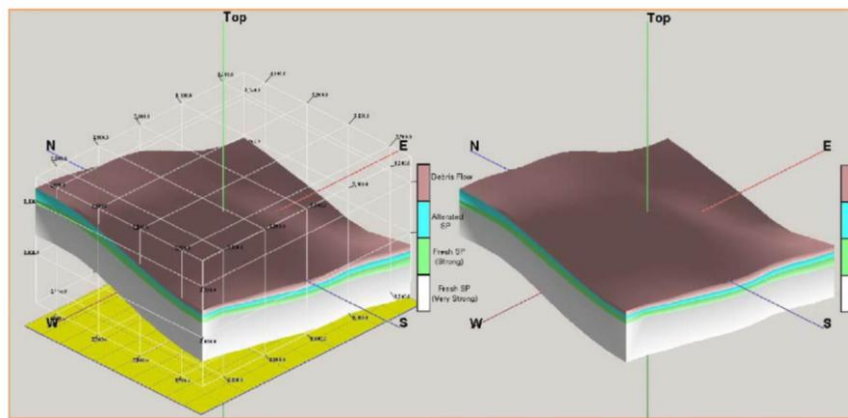


شکل ۵. نمودار گل سرخی امتداد مجموع درزه‌های (الف) ۱، (ب) ۲

### ویژگی‌های زمین‌شناسی مهندسی و ژئوتکنیک

برای شناسایی لایه‌های زیرسطحی، حفاری‌های گمانه‌ای گستره‌های انجام گردیده و آزمایش‌های نفوذ استاندارد (SPT) و نفوذپذیری لوفران در محل گمانه‌ها انجام و سطح آب زیرزمینی اندازه‌گیری شد. از این گمانه‌ها نمونه‌های دست‌نخورده اخذ گردیده و بر روی آن‌ها آزمایش‌های آزمایشگاهی مختلف نیز انجام شد [۳]. با توجه به اطلاعات حاصل از گمانه‌ها، مصالح تشکیل‌دهنده منطقه به ۴ لایه تقسیم‌بندی می‌شود (شکل ۶):

لایه اول مصالح واریزه‌ای، با ضخامت حدود ۶ تا ۲۷ متر، شامل رس، سیلت، ماسه و قطعاتی از آندزیت بازالت است (شکل ۷). قطعات سنگی آندزیت بازالت در اثر ریزش و لغزش به پایین رانده شده و سطح تازه تا نسبتاً هوازده دارند که در حضور آب و سایر عوامل مستعد ریزش هستند. آزمایش‌های صحرایی نشان می‌دهند که به طور کلی تا اعماق ۷-۸ متر مصالح درشت‌دانه با تراکم متوسط و ریزدانه سفت تا خیلی سفت وجود دارند. در اعماق پایین، اعداد نفوذ استاندارد به بیش از ۵۰ ضربه می‌رسد.



شکل ۶. تصویر شماتیک از وضعیت لایه‌بندی مصالح تشکیل دهنده



شکل ۷. تصویر قرارگیری قطعات آندزیت بازالت به طور ناهمگن در مجاورت مصالح ماسه، سیلت و رس

لایه دوم مصالح سونگون پورفیری (SP) هوازده به ضخامت ۵ تا ۲۴ متر هستند که در حدفاصل دو لایه واریزهای و SP سالم قرار گرفته و جنس آنها کوارتزمونزونیت هوازده است. این مصالح در اثر تماس با آب به راحتی متلاشی شده و بهدلیل از بین رفت تراکم و پیوستگی اجزای سازنده آن به خاک رسی ضعیف تبدیل می‌شوند و نفوذ آب‌های سطحی و زیرزمینی می‌توانند منجر به ناپایداری آنها شود. این مصالح با نام سنگ SP توصیف می‌شوند و بهدلیل کم بودن مقاومت حاصل از آزمایش‌های تکمحوری (کمتر از ۱۰ MPa)، طبق رده‌بندی انجمن بین‌المللی مکانیک سنگ، در رده خاک با مقاومت خیلی کم قرار می‌گیرد [۴]. با توجه به آزمون‌های آزمایشگاهی جنس مصالح اغلب از نوع ماسه رس‌دار و ندرتاً لای‌دار

است و در مواردی رس با خمیری پایین نیز مشاهده می‌شود. شاخص کیفی سنگ (RQD) این مصالح ۴۰-۳۰ درصد است که نشان‌گر کیفیت ضعیف آن‌ها است.

لایه سوم مصالح سونگون پورفیری (SP) سالم و هوانزده مقاوم است که اکثر این مصالح از نظر لیتولوژی کوارتزمونزونیت پورفیری با بافت گرانولار و ساخت متراکم با متوسط شاخص کیفی حدود ۵۰-۷۰ درصد هستند که نشان از کیفیت متوسط تا خوب آن‌ها دارد. متوسط مقاومت فشاری تکمحوری آن‌ها حدود  $40\text{ MPa}$  و در رده مقاومت نسبتاً کم قرار می‌گیرند. لایه چهارم مصالح SP سالم و هوانزده خیلی مقاوم است که از لحاظ جنس با لایه قبلی مشابه است و از نظر مصالح کوارتزمونزونیت تا کوارتزمونزودیوریت تخمین زده می‌شود. ولی کیفیت مصالح بهدلیل عدم وجود آب یا جریان کم آب زیرزمینی و بهبود وضعیت ناپیوستگی‌ها و ...، نسبت به لایه قبلی بهتر است. متوسط مقاومت فشاری تکمحوری این مصالح ۳۰-۵۰  $\text{MPa}$  است و در رده مصالح با مقاومت نسبتاً کم قرار می‌گیرد. در خارج از محدوده ریزش ضخامتی حدود ۱-۲ متر، مصالح روباره است و زیر آن‌ها کوارتزمونزونیت و کوارتزمونزودیوریت به عمق ۶-۴ متر به صورت هوازده و سپس وضعیت تقریباً بدون هوازدگی با استحکام قابل قبول قرار دارند.

### طبقه‌بندی توده‌های سنگی منطقه

روش‌های متعددی برای رده‌بندی توده‌های سنگی ارائه گردیده است که برای منطقه بررسی شده از ۳ روش بنیاوسکی (۱۹۸۹) [۵] و اصلاح شده آن را رومانا [۶]، بارتون و همکاران (۱۹۷۶) [۷] و هوک و براون (۱۹۹۷) [۸] استفاده کرده‌اند. با توجه به مشاهدات و برداشت‌های صحرايي، پژوهش‌های ژئوتکنيکي و آزمون‌های آزمایشگاهي امتيازات مربوط به روش بنیاوسکی اصلاح شده در جدول ۱ خلاصه شده است.

در سیستم طبقه‌بندی Q که بارتون و همکاران (۱۹۷۶) ارائه کردند [۷] توده‌سنگ‌ها دارای عددی هستند که از ۱۰۰۱ تا ۰/۰۰۱ متغیر است و معرف مشخصات توده‌های سنگی است و هر چه این مقدار بزرگ‌تر باشد، توده‌های سنگی از شريط بهتری برخوردار هستند. در جدول ۲ ارزیابی ناپیوستگی‌های توده‌های سنگی منطقه و امتيازات مربوطه آورده شده است.

### جدول ۱. طبقه‌بندی RMR و SMR توده‌های سنگی منطقه

بخش ۲	بخش ۱	بخش‌های ناپایدار بررسی شده
۱۵۰	۲	مقاومت فشاری تکمحوری (MPa)
۸۰	۳۰	ضریب کیفیت سنگ (RQD)
۵۰۰	۱۰-۳۰	فاصله‌بندی درزهای (mm)
<1 mm سطوح کمی زبر، جدایی، دیواره درزها سخت	سطوح آینه‌ای با ضخامت کمتر از ۵ mm از ۵ mm پرکننده، ۱-۵ بازشدگی، درزهای ممتد	شرایط درزهای شرایط درزهای
کاملاً خشک	آب فراوان	وضعیت آب زیرزمینی
۱۲	۰	مقاومت فشاری تکمحوری (MPa)
۱۷	۸	ضریب کیفیت سنگ (RQD)
۲۰	۵	فاصله‌بندی درزهای (mm)
۲۰	۶	شرایط درزهای
۱۰	۰	وضعیت آب زیرزمینی
۷۹	۱۹	امتیاز نهایی (BRMR)
II	V	کلاس توده‌های سنگی در طبقه‌بندی RMR
خوب	خیلی ضعیف	توضیحات
۰/۷۰	۰/۸۵	F <sub>1</sub>
۱	۱	F <sub>2</sub>
-۶	-۲۵	F <sub>3</sub>
۱۵	۱۵	F <sub>4</sub>
۸۹/۸	۱۲/۷۵	امتیاز نهایی (SMR)
I	V	کلاس توده‌های سنگی در طبقه‌بندی SMR
خیلی خوب	خیلی ضعیف	توضیحات
پایدار	ناپایدار	میزان پایداری
---	گسیختگی صفحه‌ای بزرگ	گسیختگی‌های احتمالی در دامنه
---	باربرداری و خاکبرداری، ایجاد زهکش‌های سطحی و عمقی	نوع پایدارسازی پیشنهاد شده

### جدول ۲. طبقه‌بندی توده‌های سنگی منطقه به روش Q

بخش ۲	بخش ۱	چگونگی پارامترهای طبقه‌بندی		
۸۰	۳۰	ضریب کیفیت سنگ (RQD)		
دو مجموعه درز	دو مجموعه درز و نامنظم	تعداد	عدد مجموعه درز	
۴	۶	مقدار ( $J_n$ )		
زیر و نامنظم - متوجه	زیر و نامنظم - مسطح	چگونگی	زیری سطوح درزهای	
۳	۱/۵	مقدار ( $J_r$ )		
هوازدگی متوسط	شدیداً هوازده	چگونگی	هوازدگی و پرشدگی درزهای	
۴	۶	مقدار ( $J_a$ )		
خشک	جریان آب زیاد	چگونگی	آبداری درزهای	
۱	۰/۳۳	مقدار ( $J_w$ )		
سنگ سالم	سنگ تجزیه شده	چگونگی	ضریب کاهش تنفس	
۲/۵	۵	مقدار (SRF)		
۶	۰/۰۸	مقدار شاخص Q		
۶۰	۲۱/۳	MRR ( $9\ln Q + 44$ )		
مناسب	ضعیف	توضیحات		

شاخص GSI بر ارزیابی سنگ‌شناسی، ساختار و شرایط سطوح ناپیوستگی در توده‌های سنگی استوار است که با توجه به پژوهش‌ها و برداشت‌های صحرایی تخمین زده می‌شود. شاخص مقاومت زمین‌شناسی با دو پارامتر مهم بلوکی شدن توده سنگی و شرایط ناپیوستگی‌ها تعیین می‌گردد. با توجه به وضعیت سطوح درزهای از قبیل بازشدگی، پرشدگی و هوازدگی آن‌ها و نیز خردشدهای سنگی در منطقه بررسی شده، مقادیر شاخص GSI با استناد به شکل ۸ که هوک و براون (۱۹۹۷) [۸] ارائه کرده‌اند، در ناحیه ۱ برابر ۱۸ نمره و در ناحیه ۲ برابر ۶۰-۵۵ نمره است.

براساس نتایج فوق و پژوهش‌های صحرایی و آزمون‌های آزمایشگاهی، منطقه بررسی شده از نظر ژئومکانیکی به ۲ ناحیه قابل تفکیک است. بخشی که در زیر مصالح واریزهای و ریزشی

مدفون شده (بخش ۱) و بخش دیگر (۲) که در خارج از این محدوده و در قسمت غربی آن واقع شده است. در شکل ۹، پهنگندی رئومکانیکی منطقه به صورت ساده ترسیم شده است.

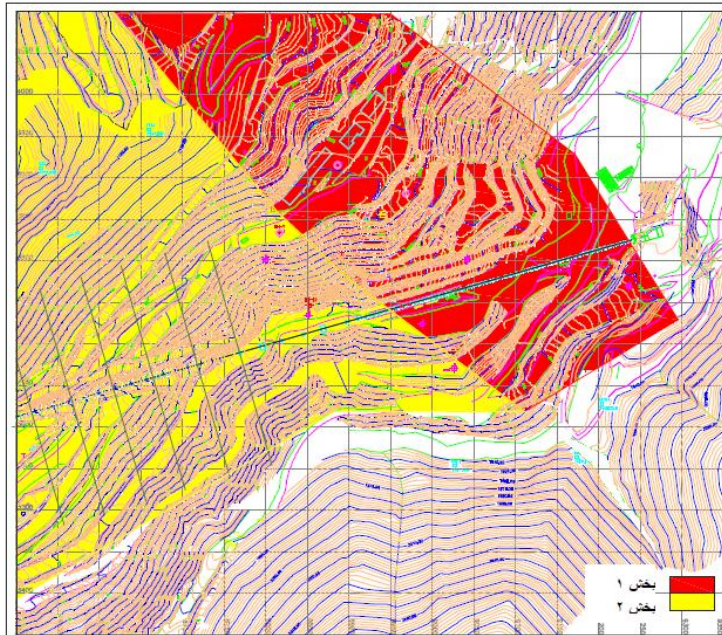


شکل ۸. طبقه‌بندی GSI توده‌های سنگی منطقه

### تحلیل پایداری شیروانی

برای تعیین وضعیت پایداری شیروانی و ارائه طرح ایمن و اقتصادی برای پایدارسازی آن، پایداری مقاطع مختلف شیروانی در وضعیت موجود و پس از ارائه طرح پایدارسازی به روش تعادل حدی با نرم‌افزار Geo-Slope ارزیابی شد. پارامترهای مکانیکی استفاده شده برای

مصالح در تحلیل‌ها در جدول ۳ ارائه می‌شوند که بر پایه نتایج آزمون‌های صحرایی و آزمایشگاهی انتخاب شده‌اند. با توجه به اهمیت لغزش‌های محتمل به‌لحاظ میزان خطرساز بودن آن‌ها، تحلیل‌های پایداری در تمامی مقاطع به‌طور جداگانه بر روی سه محدوده زیر انجام شد:



شکل ۹. پهنه‌بندی ژئومکانیکی توده‌های سنگی منطقه بررسی شده

- محدوده الف) این محدوده شامل خود نوار نقاله و شیروانی پایین دست آن است و منجر به ناپایداری ناشی از جابه‌جایی و نشست پایه‌های نوار نقاله و یا کالورت بتنی نوار نقاله می‌گردد.
- محدوده ب) محدوده شیروانی نزدیک و مشرف به نوار نقاله است که ناپایداری آن به‌طور مستقیم باعث ریزش مصالح بر روی نوار نقاله و یا کالورت بتنی می‌گردد.
- محدوده پ) محدوده شیروانی‌های بالادست نوار نقاله که در فاصله دور (بیش از ۱۰۰ متری) نوار نقاله واقع شده و خطرآفرینی آن با غلتیدن مصالح و قطعات سنگی از آن فاصله بر روی نوار نقاله است.

شکل ۱۰ محدوده شیروانی مشرف به نوار نقاله، موقعیت نوار و نیز محل مقاطع فرضی که تحلیل پایداری آنها انجام شده بر روی مسیر نوار نقاله را نشان می‌دهد. شکل ۱۱ مقطع عرضی F-F شیروانی را به همراه محدوده‌های مذکور نشان می‌دهد.

**جدول ۳. پارامترهای فیزیکی و مکانیکی در نظر گرفته شده برای شرایط تحلیل استاتیکی و دینامیکی**

لایه چهارم			لایه سوم			لایه دوم			لایه اول			مقدار نیزه پایداری
$\gamma$	C	$\phi$	$\gamma_w$	C	$\phi$	$\gamma$	C	$\phi$	$\gamma$	C	$\phi$	
$\frac{kN}{m^3}$	$\frac{kN}{m^2}$	$\frac{^\circ}{\text{س}}$										
۲۶	۱۰۰۰	۳۸	۲۶	۵۳	۳۸	۲۲	۳۰	۲۶	۲۲	۵	۳۴	پارامتر

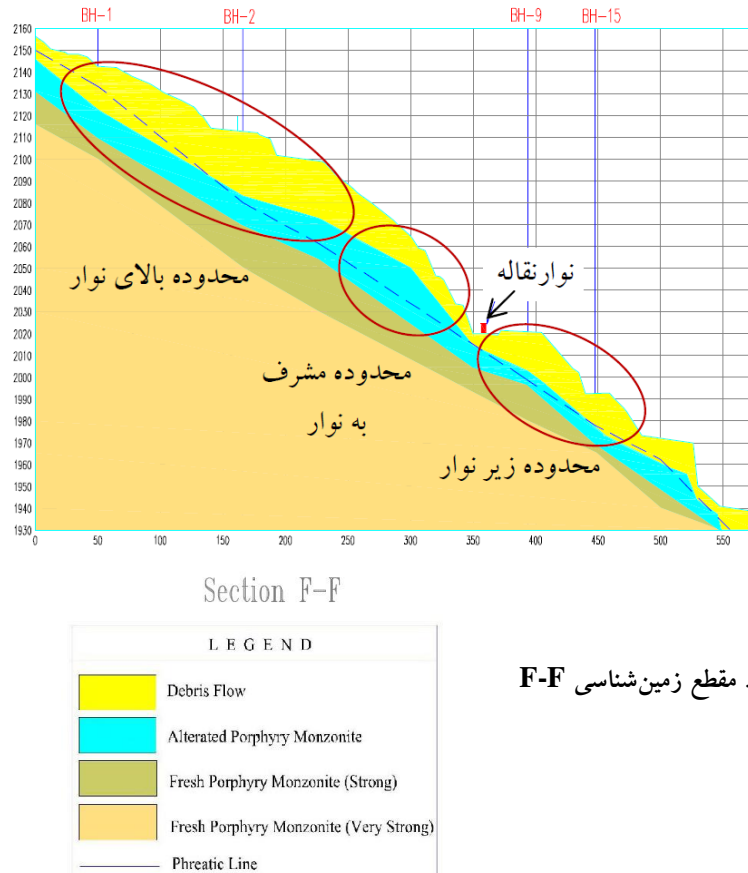


شکل ۱۰. نمای شمال شرق محدوده شیروانی مشرف به نوار نقاله و مقاطع فرضی برای انجام تحلیل‌های پایداری

#### ۱. تحلیل وضعیت موجود شیروانی

در این بخش پایداری شیروانی در وضعیت موجود در شرایط بارگذاری استاتیکی بررسی شد. نمونه‌ای از نتایج تحلیل‌های پایداری برای مقطع F-F در شکل ۱۲ و ضرایب اطمینان پایداری برای تمامی مقاطع در جدول ۴ ارائه شده است. مطابق جدول ۴، در وضعیت موجود، تقریباً در تمامی سطوح لغزش مقادیر ضرایب اطمینان کمتر از حداقل قابل قبول است. در این حالت حداقل ضریب اطمینان مطابق توصیه‌های استاندارد گروه مهندسان ارتش امریکا برای دواier لغزش عمیق برابر  $1/5$  در نظر گرفته شده است [۹].

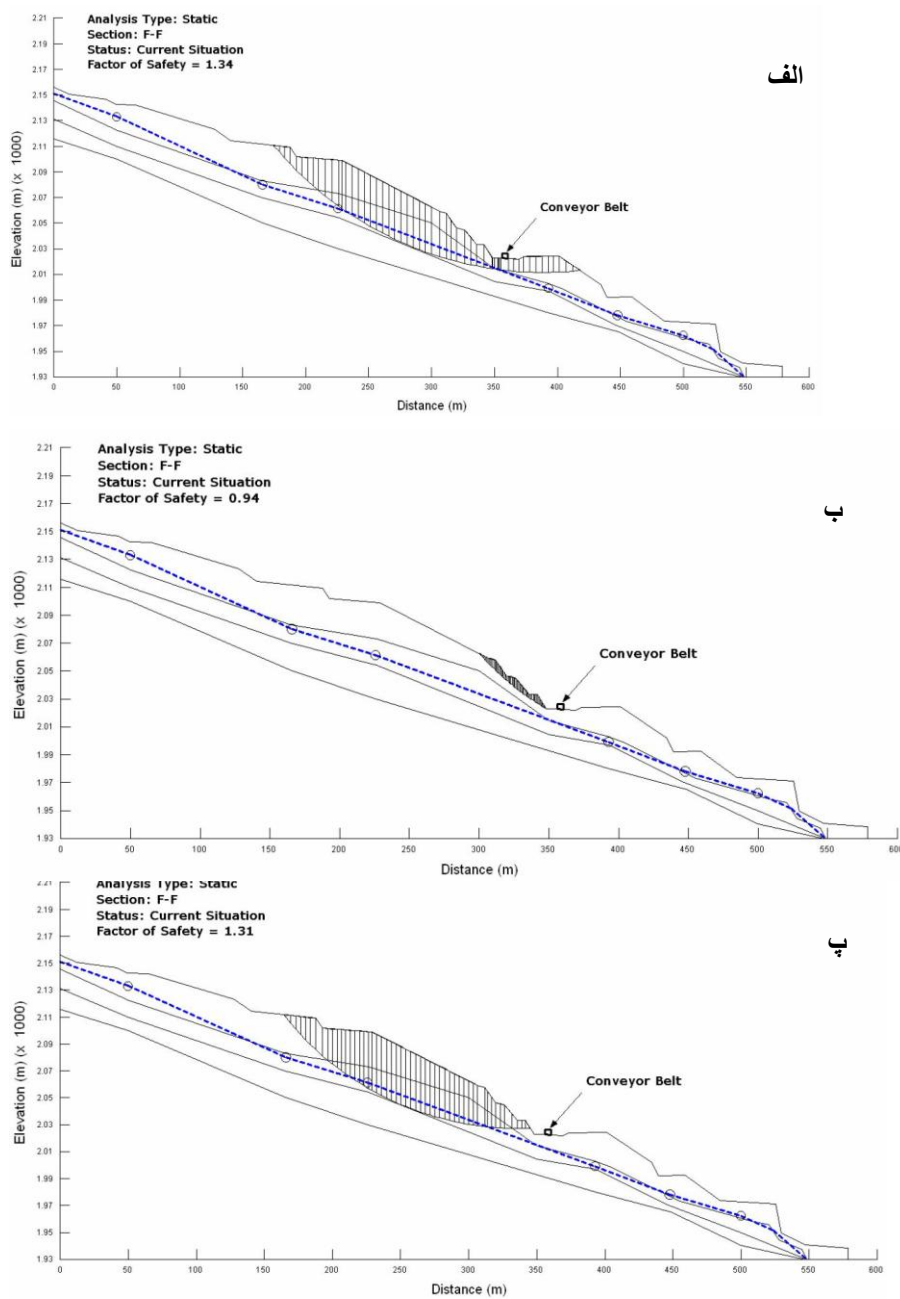
شواهد محلی از قبیل ترک‌های ایجاد شده در محل ساختمان‌های مهمان‌سرا، ترک‌های زیر دکل فشار قوی بالای مهمان‌سرا و ریزش قاشقی شکل در شیروانی و وقوع جابه‌جایی‌ها در بدنه کالورت بتنی نوار نقاله، حاکی از شرایط ناپایدار منطقه و وجود خطرات بالقوه به لحاظ خسارت‌های ناشی از این عدم پایداری است.



شکل ۱۱. مقطع زمین‌شناسی F-F

## ۲- پایدارسازی شیروانی با اصلاح هندسه آن

با توجه به این که شیروانی در وضعیت موجود به لحاظ پایداری دارای ریسک است، برای حفاظت سازه‌های واقع در زیر شیروانی و کاهش خطرات محتمل باید پایدار شود. به دلایل اقتصادی، ارائه طرح پایدارسازی در این پروژه در مواردی صورت گرفته که ریزش، شکست



شکل ۱۲. نتایج تحلیل‌های پایداری در محدوده‌های α، β و γ برای مقاطع F-F

جدول (۴): مقادیر ضریب اطمینان در شرایط بارگذاری استاتیکی برای مقاطع مختلف در وضعیت موجود

بالای نوار	مشرف به نوار	پایین نوار	محادوده قطع
۱/۳۳	۱/۱۵	۱/۳۲	C – C
۱/۳۴	۰/۹۶	۰/۹۹	D – D
۱/۳۹	۱/۱۴	۱/۳۵	E – E
۱/۳۱	۰/۹۴	۱/۳۴	F – F
۱/۲۱	۰/۹۸	۱/۱۱	H – H
۱/۱۶	۱/۰۹	۱/۰۱	I – I
۱/۲۴	۱/۲۴	۱/۱۶	J – J

یا تغییرشکل، مشکلاتی برای سازه‌های پایین شیروانی به وجود آورده؛ یعنی ممکن است در برخی مقاطع ضریب اطمینان در مقابل لغزش کافی نباشد، ولی با توجه به تهدید نشدن سازه‌های پایین یا وقوع لغزش‌های موضعی از پایدارسازی آن‌ها صرف‌نظر شده است. بر اساس مقایسه‌های فنی و اقتصادی و با توجه به این‌که به‌غیر از ساختمان‌های مخروبه و متراکه مهمان‌سرای قدیمی و دکلهای برق فشارقوی، تأسیسات خاصی بر روی شیروانی وجود ندارد و نیازی به تملک اراضی روی این شیروانی نیز نیست، برای پایدارسازی قسمت بالای شیروانی، روش اصلاح هندسه شیروانی همراه با تلفیقی از دیگر روش‌ها به عنوان طرح مناسب پیشنهاد می‌شود. به طوری که با تغییر هندسه شیروانی سعی شده است که پایداری شیروانی با در نظر گرفتن وضعیت مصالح تحت‌الارضی و توپوگرافی محل تأمین گردد.

مقاطع اصلاح شده در محدوده شیروانی مشرف به نوار نقاله و سنگ‌شکن با نرم‌افزار Geo-Slope در شرایط بارگذاری عادی و شبه استاتیکی ارزیابی و پایداری آن‌ها کنترل شد. بارگذاری شبه استاتیکی در دو سطح طراحی DBE و MCE بررسی گردید. با توجه به توصیه استانداردهای معتبر و متداول [۱۰، [۱۱، [۱۲، [۱۳] در حالت بارگذاری فوق العاده (لرزه‌ای) حداقل ضریب اطمینان لغزش قابل قبول برای سطح طراحی DBE، معادل ۱/۱۵ و برای سطح طراحی DBE، معادل ۱/۰۰ پذیرفته شده است. در سطح طراحی MCE با توجه به این‌که تعریف این سطح طراحی با معیار سید (Seed) هم‌خوانی دارد ضریب زلزله موردنظر

با توجه به این معیار انتخاب شده است. بر اساس این معیار مقدار پارامتر  $a_h$  برای زمین‌لرزه‌های با  $M = 6/5$  معادل  $g/10$  و برای زمین‌لرزه‌های با  $M = 8/25$  معادل  $g/15$  پیشنهاد شده است. به طوری که میزان ضریب اطمینان از  $1/15$  کم‌تر نباشد. به همین سبب، با توجه به مقدار بیشینه بزرگی زلزله  $M = 7/6$  و درونیابی خطی مابین مقادیر ارائه شده در معیار Seed، ضریب زلزله معادل  $g/131$  شتاب نقل در سطح طراحی MCE به دست آمده است. در سطح طراحی DBE نیز مطابق توصیه ارائه شده گروه مهندسان ارتش آمریکا مقدار ضریب اطمینان مورد قبول  $1/100$  فرض شده است. طبق نتایج پژوهش‌های لرزه‌خیزی مقدار ضریب زلزله در این سطح طراحی برابر با نصف شتاب بیشینه سنگ بستر و معادل  $g/190$  شتاب نقل فرض شده است [۱۰، [۱۱، [۱۲، [۱۳]. وضعیت آب با معرفی خط آزاد آب بر اساس اندازه‌گیری‌های محلی مشخص گردید. با توجه به توان لرزه‌زای نسبتاً زیاد محدوده با احتمال وقوع زمین‌لرزه‌هایی با بزرگی حدود ۷ ریشتر، در نظر گرفتن اثرات زمین‌لرزه در طرح، اثرات ناشی از انفجار را نیز پوشش می‌دهد و نیازی به در نظر گرفتن اثر انفجار نیست.

با توجه به میزان خطرساز بودن عوامل ناپایدارساز در هر محدوده و با در نظر گرفتن موقعیت و شرایط نوار نقاله به لحاظ میزان آسیب‌پذیری آن از بابت عریان بودن خود نوار و پایه‌های آن، عبور نوار از داخل کالورت بتی (تونل)، مدفون بودن کالورت بتی در زیر مصالح واریزه و نهایتاً فاصله آن از محدوده لغزش در طرح پیشنهادی لحاظ شده و اصلاح هندسه شیروانی مطابق با آن و با هدف حصول یک معماری قابل اجرا صورت گرفته است.

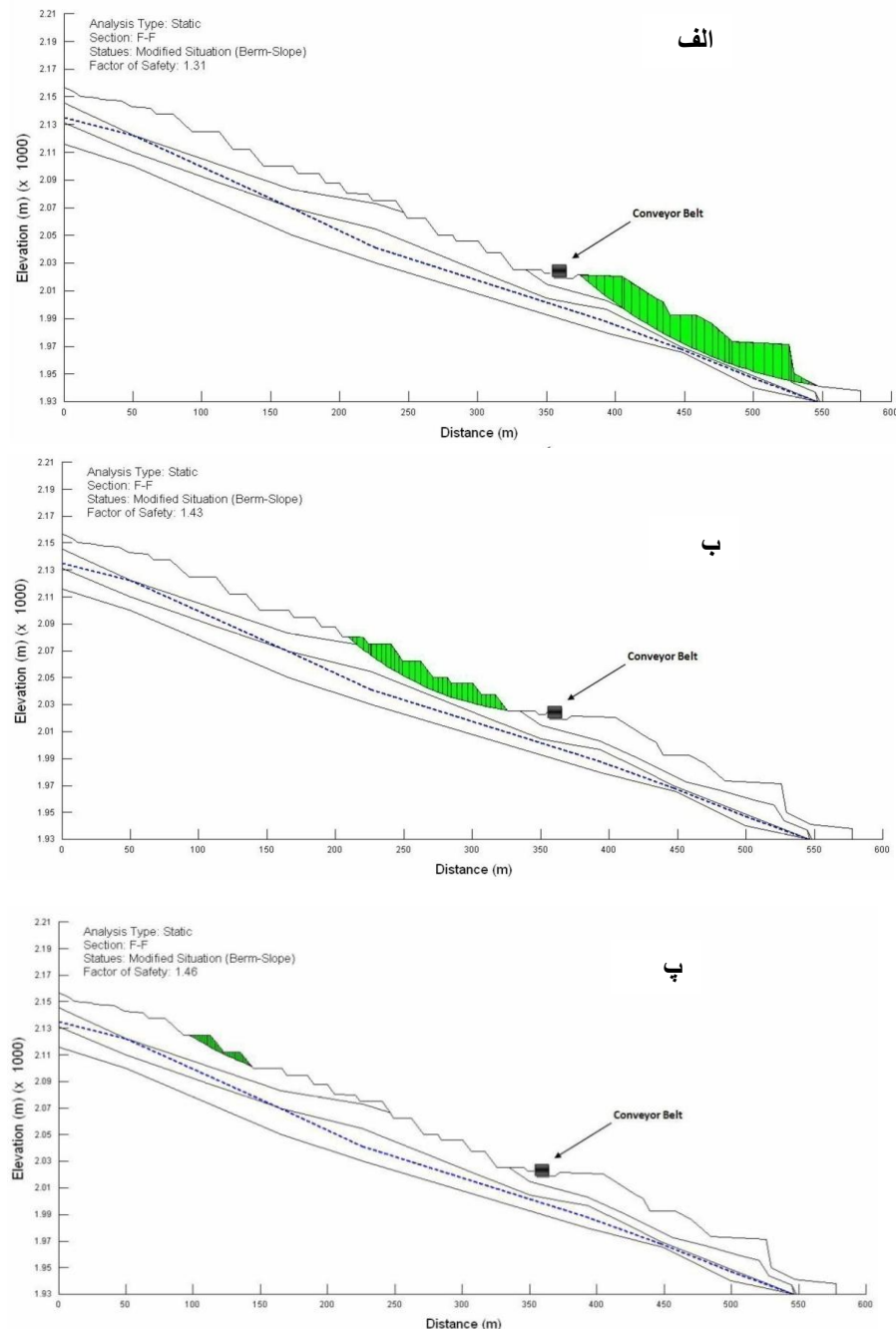
برای رسیدن به مقاطع اصلاح شده نیاز به انجام عملیات خاکبرداری و سنگبرداری به میزان حدود یک میلیون مترمکعب است. در شکل ۱۳ نمونه‌ای از نتایج تحلیل‌های پایداری برای مقطع اصلاح شده F-F ارائه می‌شود. همچنین مقادیر ضرایب اطمینان به دست آمده از تحلیل‌های پایداری برای مقاطع مختلف اصلاح شده در جدول ۵ نشان داده می‌شود. نتایج نشان می‌دهند که علیرغم افزایش ضرایب اطمینان پایداری در اکثر مقاطع، در برخی از آن‌ها احتمال ریزش و لغزش بهویژه در حالت بارگذاری شبه‌استاتیکی وجود دارد. احتمال ناپایداری در مناطق با فاصله تقریبی ۱۰۰ متر از مسیر نوار نقاله اتفاق می‌افتد که علت اصلی آن ضخامت

قابل توجه لایه روباره و مصالح سست موجود است. با توجه به حجم انبوه مصالح روباره در ناحیه مذکور، عملاً خاکبرداری آن ممکن است توجیه اقتصادی نداشته باشد. به همین سبب، با درنظر گرفتن فاصله مذکور توصیه می‌گردد که لغزش مذکور پذیرفته گردد. نتایج داده‌های بهدست آمده از رفتارنگاری در حین و بعد از اصلاح هندسه شیروانی نیز می‌تواند اطلاعات ارزشمندی را در خصوص برآورد دقیق میزان خطر لغزش به ما بدهد. به طوری که با قبول ریسک در این مرحله برای رعایت جنبه اقتصادی از انجام خاکبرداری صرف‌نظر شده و با تکیه به داده‌های حاصل از رفتارنگاری در صورت بروز تغییر شکل‌های فزاینده اقدام به برداشت مصالح گردد.

علاوه بر اصلاح هندسه شیروانی، با توجه به بالا بودن سطح آب زیرزمینی و وقوع بارش‌های سیل‌آسا در منطقه، لازم است زهکشی و هدایت آب‌های سطحی و زیرزمینی باید به صورت تلفیقی با روش فوق اجرا گردد [۱۲]. همچنین برای حفاظت از رویه شیروانی در برابر هوازدگی، فرسایش و نفوذ آب‌های سطحی، پس از انجام خاکبرداری‌ها لازم است لایه شاتکریت به ضخامت ۱۰ cm بر روی شیب اجرا شود. اجرای این لایه در مواردی که نوار نقاله خارج از کالورت قرار می‌گیرد به‌سبب حفاظت از رویه شیب از وقوع ریزش‌های سطحی اهمیت بیشتری دارد. این لایه در مواردی اجرا می‌شود که سطح زیرین قوام مناسب را داشته باشد تا به مرور زمان جدایی بین سطح شیب و شاتکریت رخ ندهد.

**جدول ۵. مقادیر ضریب اطمینان در مقاطع اصلاح شده در محدوده‌های مختلف**

محدوده بالای نوار		محدوده مشرف به نوار		محدوده پایین نوار		شماره مقطع
شبه‌استاتیکی	استاتیکی	شبه‌استاتیکی	استاتیکی	شبه‌استاتیکی	استاتیکی	
۱/۰۰۵	۱/۵۲	-	-	۰/۹۱	۱/۳۵	C – C
۱/۰۰	۱/۴۷	-	-	۰/۸۹	۱/۲۱	D – D
۰/۹۷	۱/۴۵	-	-	۰/۹۶	۱/۳۶	E – E
۰/۹۷	۱/۴۶	۰/۹۴	۱/۴۳	۰/۸۶	۱/۳۱	F – F
۰/۹۳	۱/۴۶	۰/۹۹	۱/۵۹	۰/۷۷	۱/۱۴	H – H
۰/۹۸	۱/۵۱	۱/۰۰	۱/۵۰	۰/۸۶	۱/۱۲	I – I
۰/۹۳	۱/۴۳	-	-	۰/۸۲	۱/۲۱	J – J



شکل (۱۳): نتایج تحلیل‌های پایداری در محدوده‌های الف، ب و پ برای مقاطع اصلاح شده F-F

## نتیجه‌گیری

منطقه بررسی شده در حاشیه شمالی رودخانه سونگون‌چای واقع شده و بر نوار نقاله بین سنگشکن و سایت تغليظ مشرف است. این محدوده بخشی از یک زمین‌لغزش بزرگ بسیار قدیمی است و می‌توان توده لغزیده را نهشته‌های (یا خاک‌های برجای) وابسته به سنگ‌های کوهی/توده‌های سنگریز دانست که در شب‌های تندر در اثر وزن خود به‌سمت پایین حرکت می‌کنند. بر مبنای قرائت‌های محلی بیشینه جابه‌جایی در محدوده لغزش در حدود ۱۱cm است و کلاس حرکت شیروانی در رده ۳ (نوع آهسته با سرعت حدود  $10^{-1}$  mm/sec  $\times 5$ ) قرار می‌گیرد. خلاصه نتایج پژوهش‌های انجام شده را می‌توان بدین شرح عنوان کرد:

- برداشت‌های صحرایی و بررسی درزهای شکاف‌های موجود در محدوده بررسی شده نشان می‌دهد که سوی شب درزهای از دو روند کلی شرقی- غربی و شمالی- جنوبی پیروی کرده و مطابقت خوبی با جهت وارد آمدن تنفس‌های تکتونیکی منطقه‌ای از خود نشان می‌دهند.
- با توجه به پژوهش‌های ژئوتکنیکی صورت گرفته، مصالح منطقه را می‌توان به ۴ لایه تقسیم‌بندی کرد: لایه اول مصالح واریزه‌ای، با ضخامت حدود ۶ تا ۲۷ متر، شامل رس، سیلت، ماسه و قطعاتی از آندزیت بازالت است. لایه دوم مصالح سونگون پورفیری (SP) هوازده به ضخامت ۵ تا ۲۴ متر است که در حد فاصل دو لایه واریزه‌ای و SP سالم گرفته و جنس آن‌ها کوارتز‌مونزونیت هوازده است. لایه سوم مصالح سونگون پورفیری (SP) سالم و هوانزده مقاوم است که اکثر این مصالح از نظر لیتولوژی کوارتز‌مونزونیت پورفیری با بافت گرانولار و ساخت متراکم با متوسط شاخص کیفی حدود ۵۰-۷۰ درصد هستند که نشان از کیفیت متوسط تا خوب آن‌ها دارد. لایه چهارم مصالح SP سالم و هوانزده خیلی مقاوم است که از لحاظ جنس با لایه قبلی مشابه است و از نظر مصالح کوارتز‌مونزونیت تا کوارتز‌مونزون‌دیوریت تخمین زده می‌شود.

- منطقه پژوهش از نظر ژئومکانیکی به ۲ ناحیه قابل تفکیک است. بخشی که در زیر مصالح واریزه‌ای و ریزشی مدفون شده و بخش دیگر که در خارج از این محدوده و در قسمت

غربی آن واقع شده است. که ناحیه ۱ بر اساس رده‌بندی RMR و Q به ترتیب در وضعیت خیلی ضعیف تا ضعیف و ناحیه ۲ در وضعیت خوب تا مناسب قرار دارند.

- با توجه به ناپایداری شیروانی مشرف به نوار نقاله و سنگشکن در معدن مس سونگون، در موارد داشتن توجیه اقتصادی روش خاکبرداری برای اصلاح هندسه شیروانی برای پایدارسازی پیشنهاد شده و پایداری هندسه اصلاح شده به روش تعادل حدی در شرایط بارگذاری استاتیکی و شباهستاتیکی ارزیابی گردید. نتایج نشان داد که اصلاح هندسه شیروانی به همراه ایجاد زهکش‌ها می‌تواند اطمینان در برابر ریزش و لغزش را به نحو چشم‌گیر افزایش داده و خطرات آسیب‌دیدگی سازه‌های پایین‌دست را افزایش دهد. هم‌چنین برای ارزیابی رفتار شیروانی در حین و پس از پایدارسازی لازم است رفتارنگاری نیز صورت گیرد.

### تقدیر و تشکر

نویسنده‌گان مقاله از شرکت مهندسان مشاور زمین‌ژرفاب برای در اختیار گذاشتن اطلاعات پروژه تشکر و قدردانی می‌کنند.

### منابع

- Turner A. K., Jayaprakash G. P., "Landslides: Investigation and Mitigation, Special Report 247", National Research Council (U.S.), Transportation Research Board, Editors: Turner, A. K. and Schuster, Robert L. (1996) 49-52.
- مهرپرتو، امینی فضل آ؛ نقشه زمین‌شناسی ۱:۱۰۰۰۰۰ ورزقان، سازمان زمین‌شناسی کشور (۱۳۷۱).
- گزارش مطالعات ژئوتکنیک شیروانی مشرف بر نوار نقاله مجتمع مس سونگون، شرکت مهندسین مشاور زمین‌ژرفاب (۱۳۸۹).
- ISRM, "Basic Geotechnical Description of Rock Masses", International Journal of Rock Masses and Mining, Sciences and Geomech., Pergamon

- Press Ltd, Vol. 18 (1979) 85-110.
5. Bieniawski z. t., "Engineering Rock Mass Classifications", Wiley, New York (1989).
  6. Romana M., "SMR Geomechanics Classification: Application, Experience and Validation", ISRM, Technology Roadmap for Rock Mechanics, South Africa Institute of Mining and Metallurgy (2003).
  7. Barton N., Lien R., Lunde J., "Engineering Classification of Rock Masses for the Design of Tunnel Support", Rock Mech., Vol. 69 (1976) 218-236.
  8. Hoek E., Brown E. T., "Underground Excavations in Rock", the Institution of Mining and Metallurgy, Chapman & Hall, London (1997) 527.
  9. "Slope Stability: Engineering and Design Us Army Corps of Engineers", Engineer Manual (2003).
  10. گزارش مطالعات لرزه‌خیزی مجتمع مس سونگون، شرکت مهندسین مشاور بندآب.
  11. Seed H. B, "Considerations in the Earthquake-Resistant Design of Earth and Rockfill Dams", 19th Rankine Lecture of the British Geotechnical Society, Geotechnique, Vol. XXIX, No. 3 (Sept. 1979) 215-263.
  12. Rampello S., Silvestri F., "Force-Based Pseudo-static Methods versus Displacement-Based Methods for Slope Stability Analysis", edited by Cosenza, Eurocode 8 Perspectives from the Italian Standpoint Workshop, Doppiavocce, Napoli, Italy (2009) 249-262.
  13. Lee A., et. al., "Slope Stability and Stabilization Methods", A. Wiley., Interscience Publication (2001) 712.